

運輸省 第三港湾建設局 神戸調査設計事務所 正会員 南兼一郎

・ 荘司善博

・ 小林伸司

1. はじめに

広底版マウンド工法とは、軟弱地盤上に広い版を置き上部工からの荷重を分散させ地盤の接地圧を減らすことによって、全体の安定をはかる工法をいう。本工法の設計には、版と地盤との相対剛度を考慮する必要があることから有限要素法を用いることとし、設計法の検証のために既設類似構造物の実測データとの照合を行い妥当性を確認し、舞鶴港大君地区を対象にして試設計を行った。

2. 広底版マウンド工法の設計計算法

2.1 使用したF.E.M.プログラム

載荷直後、地盤の支持力の検討には、土の降伏条件としてモール・クーロン式を用いた二次元弾塑性(E.P.)F.E.M.プログラムを、圧密完了後の版底力の検討には、二次元非線形型(N.L.)F.E.M.プログラムを用いた。圧密完了後の計算では圧密試験の各荷重段階毎に弹性範囲から ($E_t = (1+L)/(1-2L)/(1-2L)/mv$) mv を E_t に換算し、 $\bar{P} = k_0 \sigma_3$ (k_0 : 最小主応力) を用いて、 E_t との関係をプロットし、 $E_t = K' \sigma_3^{\alpha} + E_0 / K'$ 、ルを内挿により定め、この E_t に対応する圧密完了時の E_t とし、ホアンソニ比 $L = k_0/(1+k_0)$ (k_0 : Kenney 法) として、計算を行った。

2.2 F.E.M.計算手法の妥当性

(1) 地盤支持力について(従来法との比較)

一様地盤($C = 5.0 \text{ t/m}^3$)の支持力について

従来の手法による計算結果と比較すると表-1のようになる。表-1より
鉛直荷重時は非常によく一致し、偏心傾斜荷重時も三建法と良く合うことが分る。このことから、少々とも地盤支持力に関する限り本工法については従来法(内形すべり、三建法等)が適用可能であることがいえよう。これは逆にいえ本F.E.M.解析による地盤支持力から許容支持力を求めた際の安全率としては、従来法の安全率をとつてよいことを意味している。

(2) 版の発生応力及び沈下について

石巻工業港防波堤(図-2)は、H形鋼地床を用いた断面で施工され、施工直後(碎石施工直後及びケーソン上蓋施工後)に地床の発生応力とケーソン沈下量が、又その後、ケーソンの沈下量が現在に至るまで継続観測されている。施工直後の地床底力の実測値とF.E.M.計算による計算値を比較すると図-3のようになる。載荷前の現地盤の粘着力 c を用い、粘土のE(ヤング率)を $E = 210 C \times 1/2$ 計算すると実測値よりも大きくなるとした。 (Case No. 24) 後にサンプリング等による乱れの影響を考慮し、 $E = 210 (\%/\sigma)$ と大きめの値を想定すれば実測値と非常によく一致した。現実の荷動を表わすEのとり方については、今後の検討課題が多くあると思われる。

ケーソン沈下量の経時変化については、F.E.M.計算に加えて、二次圧密を考慮する場合(圧密試験の各荷重段階で24時間の載荷時中に現われた二次圧密歪みを耐用年限Tまで直線外挿し Δh を求めて、 $\Delta h \times h \times \bar{P}$ より m を計算)と述べた方法で E_t との関係を求める。)と実測値によく一致する。また圧密完了時の地床底力は二次圧密を考慮した場合は、考慮しない場合の約1.2倍となる。

	鉛直荷重時			偏心傾斜荷重時(鉛直成分)		
	FEM	Terzaghi	内形すべり	FEM	荷重分散法	三建法
極限支持力	557 t/m	571 t/m	569 t/m	257 t/m	400 t/m	235 t/m

表-1 各計算法による極限支持力の比較

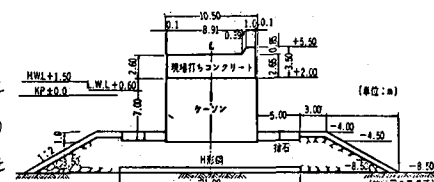
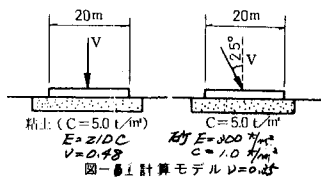


图-2 石巻工業港防波堤一般図(単位:m)

3. 室内模型実験結果の解析

幅2.0m、高さ0.6m、奥行0.4m、一面がラス張りの鋼製土槽を製作し、再圧密した粘土層上に広底版（アルミ製）厚さ1cm、幅30cm、高さ40cmを置き、油圧ジャッキ、鉛直及び偏心傾斜載荷の実験を行った。測定項目は、版及び地表面沈下（ダイヤルゲージ）、版の曲げ応力（ストレインゲージ）、地中応力、版の接地圧である。実験結果及びP.E.Mによる解析結果の一部（偏心傾斜載荷、版幅30cm、 $e = 10\text{cm}$ 、 $\theta = 10^\circ$ ）を図-5, 6に示す。実測の荷重沈下曲線から求めた降伏点は、破壊後にサンプリングした試料の一軸圧縮試験から求めた実験標粘土のCを用いたP.E.M解析の値よりかなり小さくなり、 $C = \frac{1}{2}C'$ まで落とした場合とよく一致した。これは、使用した粘土が未圧密粘土であるために、クリープの影響が大きくあらわれたものと思われるが、詳細な検討には致らなかった。版の発生応力は $E = 210\text{C}$ をくろと、実測値よりも大きくなり、 $E = 140\text{C}$ とすると場合に、地盤の降伏点までは、実測値とよく一致した。

4. 設計計算法

上記の検討に基づいて設計計算法を次のとおりとした。

① 載荷直後に地盤支持力の検討を行う。方法は、従来行なっている円形すべり及び偏心傾斜（三連法）による検討とP.E.Mによる計算結果から塑性域の発達状況をみて、地盤が破壊していくことを確認する。

② 版の発生応力及び沈下については、二次圧密を考慮した検討を行う。

以上の方法を用い、舞鶴港大君地工を対象として試設計を行った。なお、土質常数は、ベンセン式試験による参考とした。

5. おわりに

従来法による地盤支持力の検討結果との对比、類似構造物の長期的作況下観測データとの照合により、設計法について一応の提案をみた。今後は、本工法を採用し、現地での実測データを収集することにより更に検討を進めていく必要があると思われる。

（謝辞） 本工法の検討に当たる関係者の方々に感謝を表して、山田勇氏（広島県港湾課長）に謝意を表します。

（参考文献）

- 竹中津之介：粘土のサンプリングとその信頼度、土質材料の力学、試験法における最近の問題点、日本材料試験協会関西支部、1962
- 河上他：石巻工業港防波堤内形鋼沈放の応力測定とその解析、土と基礎、Vol. 15、No. 9、1967.9
- 港湾の施設の技術上の基準、同解説
- 神設資 No. 300：“広底版スランド工法について” 1980.3

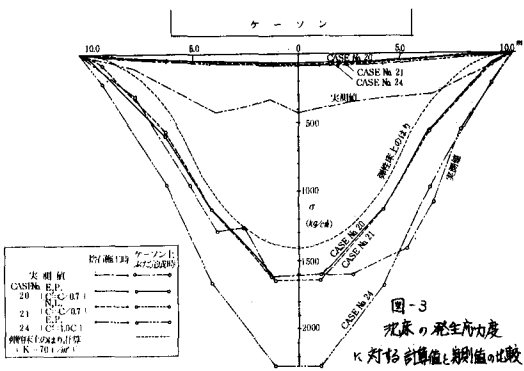


図3-3.12 ケーソンの沈下量に対する計算値と実測値の比較

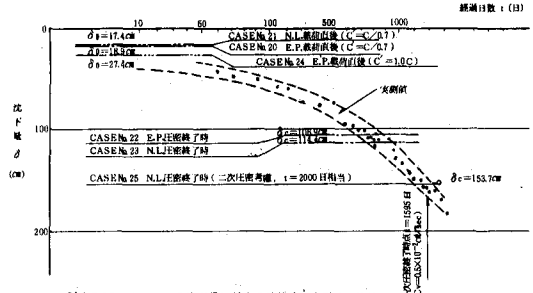


図3-3.13 ケーソンの沈下量に対する計算値と実測値の比較

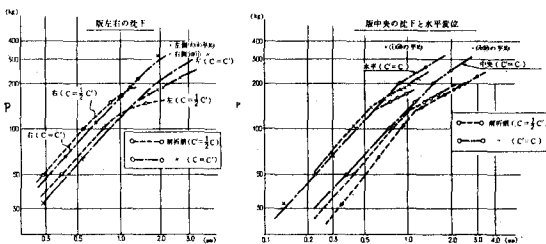
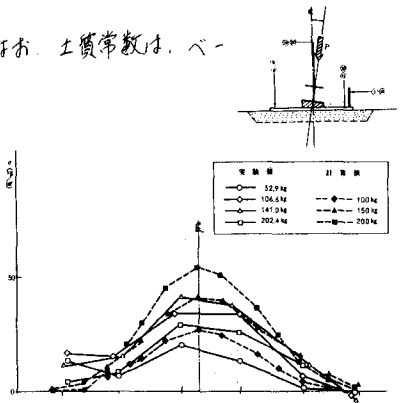


図5 版の沈下量及び変位と荷重 (Case 4)



Case 4 (版300mm×380mm)
荷重段階毎の版の応力状況